

Starkniederschlagshöhen und -spenden gemäß KOSTRA-DWD-2020

Rasterfeld 108118

(Zeile 108, Spalte 118)

Regenspende und Bemessungsniederschlagswerte in Abhängigkeit von Wiederkehrzeit T und Dauerstufe D

| Dauerstufe D | Wiederkehrzeit T | | | | | | | | | | | | | | | | | | |
|--------------|------------------|---------------|---------------|---------------|---------------|---------------|---------------|---------------|---------------|---------------|---------------|---------------|---------------|---------------|---------------|---------------|---------------|---------------|-------|
| | 1 a | 2 a | 3 a | 5 a | 10 a | 20 a | 30 a | 50 a | 100 a | 1 a | 2 a | 3 a | 5 a | 10 a | 20 a | 30 a | 50 a | 100 a | |
| min Std | mm l / (s ha) | mm l / (s ha) | mm l / (s ha) | mm l / (s ha) | mm l / (s ha) | mm l / (s ha) | mm l / (s ha) | mm l / (s ha) | mm l / (s ha) | mm l / (s ha) | mm l / (s ha) | mm l / (s ha) | mm l / (s ha) | mm l / (s ha) | mm l / (s ha) | mm l / (s ha) | mm l / (s ha) | mm l / (s ha) | |
| 5 | 7,0 | 233,3 | 8,7 | 290,0 | 9,8 | 326,7 | 11,2 | 373,3 | 13,3 | 443,3 | 15,4 | 513,3 | 16,7 | 556,7 | 18,6 | 620,0 | 21,1 | 703,3 | |
| 10 | 9,0 | 150,0 | 11,2 | 186,7 | 12,6 | 210,0 | 14,4 | 240,0 | 17,0 | 283,3 | 19,7 | 328,3 | 21,5 | 358,3 | 23,8 | 396,7 | 27,2 | 453,3 | |
| 15 | 10,2 | 113,3 | 12,8 | 142,2 | 14,3 | 158,9 | 16,4 | 182,2 | 19,4 | 215,6 | 22,5 | 250,0 | 24,5 | 272,2 | 27,2 | 302,2 | 31,0 | 344,4 | |
| 20 | 11,1 | 92,5 | 13,9 | 115,8 | 15,6 | 130,0 | 17,9 | 149,2 | 21,2 | 176,7 | 24,5 | 204,2 | 26,8 | 223,3 | 29,6 | 246,7 | 33,8 | 281,7 | |
| 30 | 12,5 | 69,4 | 15,7 | 87,2 | 17,6 | 97,8 | 20,2 | 112,2 | 23,8 | 132,2 | 27,6 | 153,3 | 30,1 | 167,2 | 33,3 | 185,0 | 38,0 | 211,1 | |
| 45 | 14,0 | 51,9 | 17,5 | 64,8 | 19,7 | 73,0 | 22,6 | 83,7 | 26,7 | 98,9 | 30,9 | 114,4 | 33,7 | 124,8 | 37,3 | 138,1 | 42,6 | 157,8 | |
| 60 | 1 | 15,2 | 42,2 | 19,0 | 52,8 | 21,3 | 59,2 | 24,4 | 67,8 | 28,9 | 80,3 | 33,5 | 93,1 | 36,5 | 101,4 | 40,4 | 112,2 | 46,0 | 127,8 |
| 90 | 1,5 | 16,9 | 31,3 | 21,2 | 39,3 | 23,8 | 44,1 | 27,2 | 50,4 | 32,2 | 59,6 | 37,3 | 69,1 | 40,7 | 75,4 | 45,0 | 83,3 | 51,3 | 95,0 |
| 120 | 2 | 18,3 | 25,4 | 22,8 | 31,7 | 25,7 | 35,7 | 29,4 | 40,8 | 34,7 | 48,2 | 40,3 | 56,0 | 43,9 | 61,0 | 48,6 | 67,5 | 55,4 | 76,9 |
| 180 | 3 | 20,3 | 18,8 | 25,4 | 23,5 | 28,6 | 26,5 | 32,7 | 30,3 | 38,6 | 35,7 | 44,8 | 41,5 | 48,8 | 45,2 | 54,1 | 50,1 | 61,6 | 57,0 |
| 240 | 4 | 21,9 | 15,2 | 27,4 | 19,0 | 30,8 | 21,4 | 35,2 | 24,4 | 41,7 | 29,0 | 48,3 | 33,5 | 52,6 | 36,5 | 58,3 | 40,5 | 66,4 | 46,1 |
| 360 | 6 | 24,3 | 11,3 | 30,4 | 14,1 | 34,2 | 15,8 | 39,2 | 18,1 | 46,3 | 21,4 | 53,7 | 24,9 | 58,5 | 27,1 | 64,8 | 30,0 | 73,8 | 34,2 |
| 540 | 9 | 27,0 | 8,3 | 33,8 | 10,4 | 38,0 | 11,7 | 43,5 | 13,4 | 51,4 | 15,9 | 59,6 | 18,4 | 64,9 | 20,0 | 72,0 | 22,2 | 82,0 | 25,3 |
| 720 | 12 | 29,1 | 6,7 | 36,4 | 8,4 | 40,9 | 9,5 | 46,8 | 10,8 | 55,4 | 12,8 | 64,2 | 14,9 | 70,0 | 16,2 | 77,5 | 17,9 | 88,3 | 20,4 |
| 1080 | 18 | 32,3 | 5,0 | 40,4 | 6,2 | 45,4 | 7,0 | 52,0 | 8,0 | 61,5 | 9,5 | 71,3 | 11,0 | 77,7 | 12,0 | 86,1 | 13,3 | 98,1 | 15,1 |
| 1440 | 24 | 34,8 | 4,0 | 43,5 | 5,0 | 48,9 | 5,7 | 56,0 | 6,5 | 66,2 | 7,7 | 76,7 | 8,9 | 83,6 | 9,7 | 92,7 | 10,7 | 105,6 | 12,2 |
| 2880 | 48 | 41,6 | 2,4 | 52,0 | 3,0 | 58,5 | 3,4 | 67,0 | 3,9 | 79,2 | 4,6 | 91,7 | 5,3 | 100,0 | 5,8 | 110,8 | 6,4 | 126,2 | 7,3 |
| 4320 | 72 | 46,2 | 1,8 | 57,8 | 2,2 | 64,9 | 2,5 | 74,3 | 2,9 | 87,9 | 3,4 | 101,8 | 3,9 | 111,0 | 4,3 | 123,0 | 4,7 | 140,1 | 5,4 |
| 5760 | 96 | 49,7 | 1,4 | 62,2 | 1,8 | 69,9 | 2,0 | 80,0 | 2,3 | 94,6 | 2,7 | 109,6 | 3,2 | 119,5 | 3,5 | 132,4 | 3,8 | 150,9 | 4,4 |
| 7200 | 120 | 52,7 | 1,2 | 65,9 | 1,5 | 74,0 | 1,7 | 84,7 | 2,0 | 100,2 | 2,3 | 116,1 | 2,7 | 126,5 | 2,9 | 140,2 | 3,2 | 159,8 | 3,7 |
| 8640 | 144 | 55,2 | 1,1 | 69,0 | 1,3 | 77,6 | 1,5 | 88,8 | 1,7 | 105,0 | 2,0 | 121,7 | 2,3 | 132,6 | 2,6 | 146,9 | 2,8 | 167,5 | 3,2 |
| 10080 | 168 | 57,4 | 0,9 | 71,8 | 1,2 | 80,7 | 1,3 | 92,4 | 1,5 | 109,2 | 1,8 | 126,6 | 2,1 | 138,0 | 2,3 | 152,9 | 2,5 | 174,2 | 2,9 |

Starkniederschlagshöhen und -spenden gemäß KOSTRA-DWD-2020

Rasterfeld 108118

(Zeile 108, Spalte 118)

Örtliche Unsicherheiten in Abhängigkeit von Wiederkehrzeit T und Dauerstufe D

| Dauerstufe D | | Wiederkehrzeit T | | | | | | | | |
|--------------|-----|------------------|-----|-----|-----|------|------|------|------|-------|
| | | 1 a | 2 a | 3 a | 5 a | 10 a | 20 a | 30 a | 50 a | 100 a |
| min | Std | ± % | ± % | ± % | ± % | ± % | ± % | ± % | ± % | ± % |
| 5 | | 14 | 15 | 16 | 17 | 18 | 19 | 20 | 20 | 21 |
| 10 | | 16 | 19 | 20 | 21 | 22 | 23 | 24 | 24 | 25 |
| 15 | | 18 | 20 | 21 | 22 | 24 | 25 | 25 | 26 | 27 |
| 20 | | 18 | 21 | 22 | 23 | 25 | 26 | 26 | 27 | 27 |
| 30 | | 19 | 21 | 23 | 24 | 25 | 26 | 27 | 27 | 28 |
| 45 | | 18 | 21 | 22 | 24 | 25 | 26 | 26 | 27 | 28 |
| 60 | 1 | 18 | 20 | 22 | 23 | 24 | 26 | 26 | 27 | 27 |
| 90 | 1,5 | 17 | 19 | 21 | 22 | 23 | 25 | 25 | 26 | 26 |
| 120 | 2 | 16 | 19 | 20 | 21 | 23 | 24 | 24 | 25 | 26 |
| 180 | 3 | 15 | 17 | 19 | 20 | 21 | 22 | 23 | 24 | 24 |
| 240 | 4 | 14 | 16 | 18 | 19 | 20 | 21 | 22 | 23 | 23 |
| 360 | 6 | 13 | 15 | 16 | 18 | 19 | 20 | 21 | 21 | 22 |
| 540 | 9 | 12 | 14 | 15 | 16 | 18 | 19 | 19 | 20 | 21 |
| 720 | 12 | 11 | 14 | 15 | 16 | 17 | 18 | 19 | 19 | 20 |
| 1080 | 18 | 11 | 13 | 14 | 15 | 16 | 17 | 17 | 18 | 19 |
| 1440 | 24 | 11 | 12 | 13 | 14 | 15 | 16 | 17 | 17 | 18 |
| 2880 | 48 | 12 | 12 | 13 | 14 | 14 | 15 | 16 | 16 | 17 |
| 4320 | 72 | 13 | 13 | 13 | 14 | 14 | 15 | 15 | 16 | 16 |
| 5760 | 96 | 14 | 14 | 14 | 14 | 15 | 15 | 15 | 16 | 16 |
| 7200 | 120 | 15 | 14 | 14 | 15 | 15 | 15 | 16 | 16 | 16 |
| 8640 | 144 | 16 | 15 | 15 | 15 | 15 | 16 | 16 | 16 | 16 |
| 10080 | 168 | 16 | 15 | 15 | 15 | 16 | 16 | 16 | 16 | 17 |

Parameter für abweichende T und D

Lokationsparameter ξ (Xi)

15,405319

Skalenparameter α (Alpha)

5,35729646

Formparameter κ (Kappa)

-0,1

1. Koutsoyiannis-Parameter θ (Theta)

0,01914127

2. Koutsoyiannis-Parameter η (Eta)

0,74300972

Parameter für dauerstufenübergreifende Extremwertschätzung nach KOUTSOYIANNIS et al. 1998.

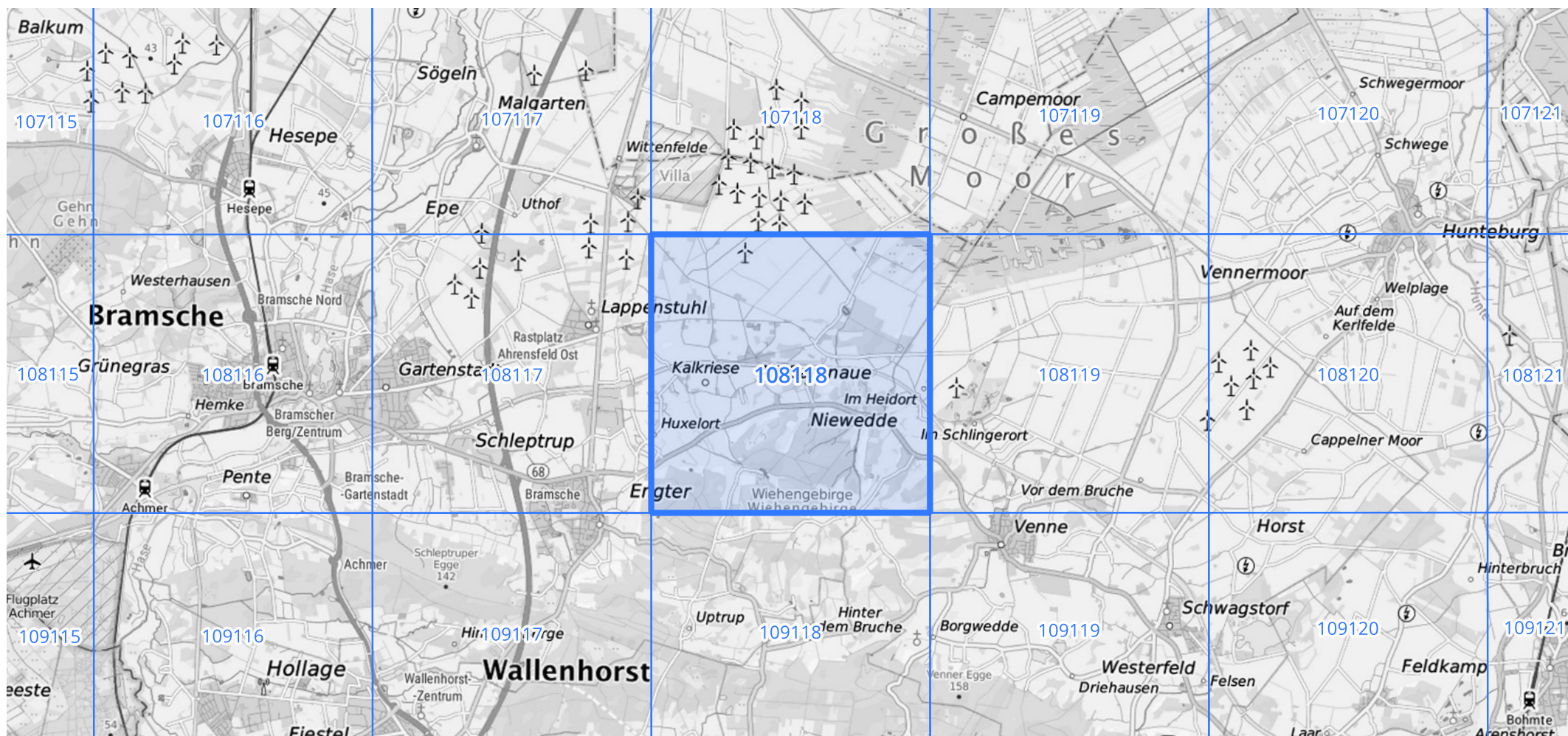
Siehe auch Anwendungshilfe zu KOSTRA-DWD-2020 des Deutschen Wetterdienstes.

Starkniederschlagshöhen und -spenden gemäß KOSTRA-DWD-2020

Rasterfeld 108118

(Zeile 108, Spalte 118)

Übersichtskarte des Rasterfeldes 108118, M 1 : 100 000



Quelle Rasterdaten: KOSTRA-DWD-2020 des Deutschen Wetterdienstes, Stand 12/2022.

Seite 3 von 3

Kartendarstellung: © Bundesamt für Kartographie und Geodäsie (2023), Datenquellen: https://sgx.geodatenzentrum.de/web_public/gdz/datenquellen/Datenquellen_TopPlusOpen.html

Für die Richtigkeit und Aktualität der Angaben wird keine Gewähr übernommen. Erstellt 01/2023.